

Д 1,2 - 12036, будна 1978

У Междун. семинар по проблемам физики
высоких энергий, Дубна 1978

МНОГОКОМПОНЕНТНАЯ МОДЕЛЬ МНОЖЕСТВЕННОГО ОБРАЗОВАНИЯ АДРОНОВ

В.К.Митришкин, А.Н.Сисакян

Объединенный институт ядерных исследований, Дубна

§I. Введение

В феноменологическом анализе процессов множественного рождения адронов при высоких энергиях широкое распространение получил многокомпонентный подход, который основывается на гипотезе существования в одном акте взаимодействия нескольких (двух или более) механизмов образования вторичных частиц. Такой подход восходит к идеи^{1/} о необходимости выделения различных областей фазового пространства, соответствующих, вообще говоря, образованию различных групп вторичных частиц, лишь в совокупности дающих наблюдаемую множественность.

Конкретное описание механизмов образования частиц удается получить в рамках различных моделей квантовой теории поля (см., например^{2/}). К числу строгих результатов относятся асимптотические оценки и ограничения^{1,3/} на энергетическое поведение характеристика процесса, отвечающих выделенным областям фазового пространства.

Следует отметить, что на различную природу механизмов множественного рождения частиц наглядно указывают резкие отличия в энергетической зависимости средних множественностей и парциальных сечений отдельных областей (механизмов).

Поскольку экспериментальные данные дают определенные сведения только об интегральных характеристиках процессов, наиболее естественным способом феноменологического изучения вкладов различных механизмов является их анализ в рамках модельных предположений отно-

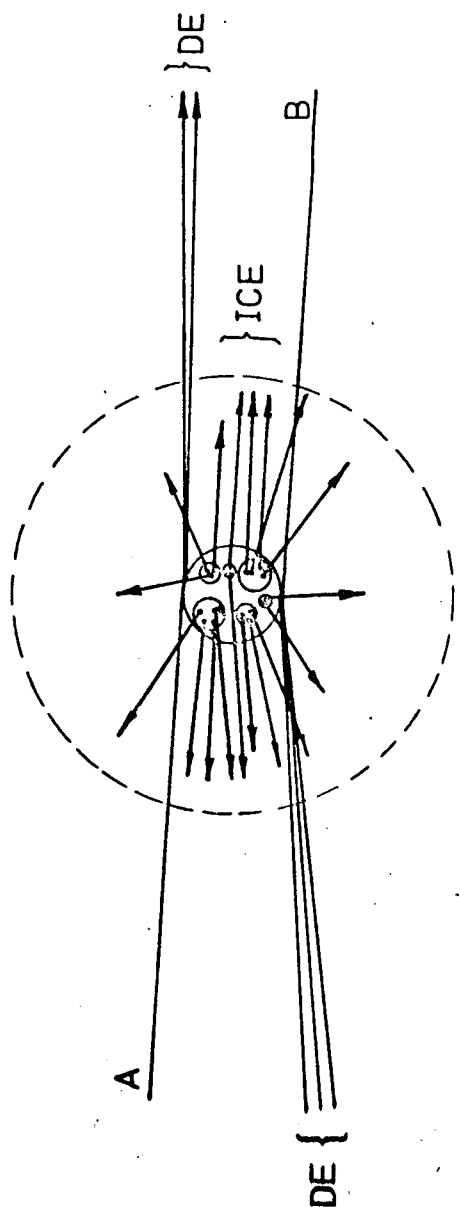


Рис. I. Схематическое изображение гипотетического неупругого процесса.
ICE - независимое испускание кластеров; DE - дифракционное возбуждение.

сительно отдельных компонент. Такой анализ имеет целью как теоретическое описание интегральных величин, так и определение энергетической зависимости параметров, соответствующих рассматриваемым механизмам.

§2. Описание модели

Согласно модели двух механизмов (МДМ)^{/4/}, которая будет рассматриваться в дальнейшем, области фазового пространства выделяются следующим образом:

а) область, соответствующая вторичным частицам, образованным благодаря диссоциации сталкивающихся частиц;

б) область, отвечающая независимому испусканию нейтральных адронных ассоциаций (кластеров) с изоспином $I = 0$. Типичное событие в МДМ схематически представлено на рис. I. Быстрота кластера $y = \frac{1}{f} \ln \frac{E_p + P_n}{E_p - P_n}$ лежит при этом в интервале $[-Y, Y]$, где $Y \sim \ln S$, а S — квадрат полной энергии в СЦИ. Если рождение кластеров равновероятно в этом интервале быстрот, то при отсутствии кинематических ограничений распределение по числу кластеров будет иметь вид

$$W_n = P_n(\langle n \rangle) = e^{-\langle n \rangle} \cdot \frac{\langle n \rangle^n}{n!},$$

причем $\langle n \rangle \sim Y$. Будем классифицировать кластеры по их модам распада.

Предположим, что основная часть вторичных частиц, родившихся в центральной области, может быть представлена как результат распада $B(6 \rightarrow \pi^+ \pi^-)$, $\omega (\omega \rightarrow \pi^+ \pi^- \pi^0)$, $B(B \rightarrow 2\pi^+ 2\pi^-)$, $\pi^+ \pi^- 2\pi^0$, $4\pi^0$) — и $\Lambda(\Lambda \rightarrow K^+ K^-)$ — кластеров. Схема при этом не исключает возможности распада кластеров через "промежуточные резонансы".

Характерной чертой процессов множественного рождения является "уширение" с ростом энергии зарядовых распределений, что дает основания полагать, что с ростом энергия начинают давать все больший вклад более тяжелые кластеры (не B и ω , но B — кластеры и т.д.).

Это обстоятельство отмечалось ранее в ^{/5/}. В пользу этого соображения свидетельствует также факт роста наклона зависимости

$f(n_e) \propto \langle n_{J^P} \rangle_{n_e}$ в J^P — взаимодействиях при возрастании энергии (см., например, ^{/6/}). Результаты нашего описания распреде-

лений по множественности и зарядово-нейтральных корреляций в pp -столкновениях подтверждают этот вывод (см. §3).

Всюду в дальнейшем массы кластеров M заменим на их некоторые средние значения \bar{M} .

Механизм дифракционного возбуждения дает в основном вклад в каналы с малой множественностью вторичных частиц. Выпишем некоторые конкретные схемы диссоциации протона, которые понадобятся нам в дальнейшем:

- | | |
|------------------------------------|------------------------------------|
| 1. $p \rightarrow p$, | 5. $p \rightarrow \Sigma^+ K^0$, |
| 2. $p \rightarrow p \pi^0$, | 6. $p \rightarrow \Sigma^0 K^+$, |
| 3. $p \rightarrow n \pi^+$, | 7. $p \rightarrow p \pi^0 \pi^0$, |
| 4. $p \rightarrow \Lambda^0 K^+$, | 8. $p \rightarrow n \pi^+ \pi^0$, |
| | 9. $p \rightarrow p \pi^+ \pi^-$. |

Каналы диссоциации π^- -мезона следующие:

1. $\pi^- \rightarrow \pi^-$,
2. $\pi^- \rightarrow 2\pi^0 \pi^+$,
3. $\pi^- \rightarrow \pi^- 2\pi^0$.

Отметим, что при больших энергиях необходимо учитывать вклад и других каналов диссоциации (например, $p \rightarrow n 3\pi$ и т.д.).

Лидирующие кластеры уносят конечную часть энергии, и суммарная энергия кластеров в центральной области (ЦО) в результате равняется

$$\varepsilon' \simeq \sqrt{s} \cdot (1-x_1)(1-x_2),$$

где

$$x_{1;2} = \frac{2 \cdot |\vec{q}_{1;2||}|}{\sqrt{s}},$$

$\vec{q}_{1;2||}$ — продольные импульсы лидирующих кластеров и \sqrt{s} — полная энергия налетающих частиц в СЦИ. В силу предположения об относительной малости импульсов кластеров закон сохранения импульсов мало влияет на распределение по множественности и пр.. Однако, поскольку массы кластеров уже, вообще говоря, нельзя считать малыми, необходимо при больших множественностях учитывать ограничения, накладываемые законом сохранения энергии. Учетом закона сохранения энергии следующим образом: будем считать, что массы

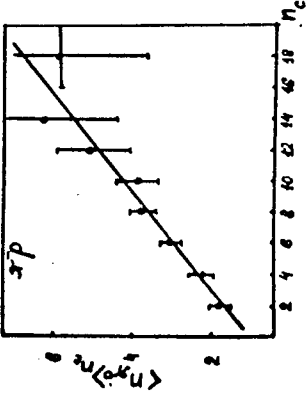


Рис. 2а. Зависимость $\frac{dE}{dT} / \langle \frac{dE}{dT} \rangle$
в $\pi^- p$ -столкновениях.

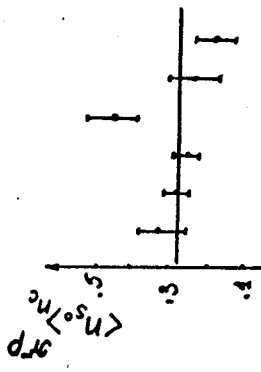


Рис. 3а. Зависимость $\langle n_{\pi^0} \rangle$
в $\pi^- p$ -столкновениях.

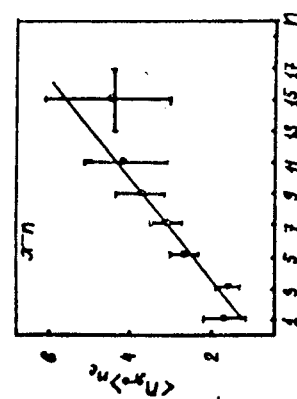


Рис. 2б. Зависимость $\frac{dE}{dT} / \langle \frac{dE}{dT} \rangle$
в $\pi^- n$ -столкновениях.

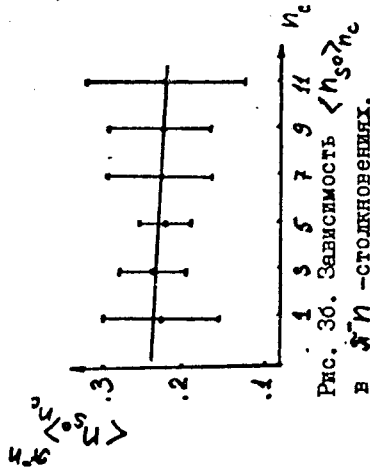


Рис. 3б. Зависимость $\langle n_{\pi^0} \rangle$
в $\pi^- n$ -столкновениях.

всех рождающихся кластеров не превышают $\bar{\epsilon}'$, т.е. добавим в распределение по множественности множитель

$$\theta[\epsilon' - \sum_{\text{всех кластеров}} \bar{M}]$$

Таким образом, полное распределение по множественности кластеров в ЦО принимает вид

$$W_{n_\epsilon n_\omega n_B \dots} = \frac{1}{W(\epsilon')} \cdot \prod_i P_{n_i}(\langle n_i \rangle) \cdot \theta[\epsilon' - \sum \bar{M}], \quad (1)$$

где $i = \epsilon, \omega, B, \Lambda$ и т.д.

Распределение (1) нормировано на единицу, и $W(\epsilon')$ – нормировочный множитель. Отметим, что возможно появление кластеров других типов, например, с модами распадов $KK\pi$ и т.д.

Дифференциальное сечение рождения n_ϵ ϵ -кластеров, n_ω ω -кластеров и т.д. при условии, что возбуждение лидирующих адронов происходит в i -м и j -м каналах соответственно, есть

$$\frac{1}{6_{in.}} \cdot \frac{d^2 \sigma_{n_\epsilon n_\omega \dots}}{dx_1 dx_2} = F_{ij}(x_1 x_2 / s) W_{n_\epsilon n_\omega \dots}(\epsilon'). \quad (2)$$

Соотношение (2)-основное в рассматриваемой модели и служит исходным для построения распределений и пр.. Интегрируя его по dx_1 и dx_2 , получим

$$\frac{d^2 \sigma_{n_\epsilon n_\omega \dots}}{6_{in.}} = \int dx_1 dx_2 F_{ij}(x_1 x_2 / s) W_{n_\epsilon n_\omega \dots}(\epsilon')$$

Это выражение можно упростить, если заменить в интеграле $\epsilon' \approx \sqrt{s}(1-x_1)(1-x_2)$ на некоторое среднее значение $\bar{\epsilon}'$. Тогда получим

$$\frac{d^2 \sigma_{n_\epsilon n_\omega \dots}}{6_{in.}} = F_{ij}(s) \cdot W_{n_\epsilon n_\omega \dots}(\bar{\epsilon}'). \quad (3)$$

Используем логарифмическую параметризацию для зависимости средних чисел кластеров от энергии в рассматриваемом интервале энергий, т.е.

$$\langle n_i \rangle = A_i + B_i \cdot \ln \frac{s}{s_0},$$

$$s_0 = 1 \text{ ГэВ}^2.$$

С помощью (3) нетрудно получить распределения по числу комбинаций $\pi^+\pi^-$, $\pi^+\pi^-\pi^0$, $2\pi^+2\pi^-$, ..., образующихся при распадах $\bar{6}^-$, ω^- , $\bar{\omega}^-$ и т.д. кластеров соответственно:

$$W_{n_{\pi^+\pi^-}, n_{\pi^+\pi^-\pi^0}, \dots}^{(ij)} = F_{ij} \cdot \prod_e P_{n_e}(\langle \tilde{n}_e \rangle) \cdot \theta[\bar{E}' - \sum_e n_e \bar{M}_e], \quad (4)$$

где $\langle \tilde{n}_e \rangle = \langle n_{\pi^+\pi^-} \rangle, \langle n_{\pi^+\pi^-\pi^0} \rangle$, а \bar{M}_e - соответствующие средние массы.

Очевидно, что число заряженных частиц n_c , число π^0 -мезонов n_{π^0} и число частиц типа σ^0 (т.е. Λ^0 , K^0 , Σ^0) связаны с величинами $n_{\pi^+\pi^-}$, $n_{\pi^+\pi^-\pi^0}$, ... соотношениями

$$n_c = 2n_{\pi^+\pi^-} + 2n_{\pi^+\pi^-\pi^0} + 2n_{\pi^+\pi^-\pi^0} + 4n_{\pi^+\pi^-\pi^0} + e_c^{(1)i} + e_c^{(2)j},$$

$$n_{\pi^0} = n_{\pi^+\pi^-} + e_{\pi^0}^{(1)i} + e_{\pi^0}^{(2)j},$$

$$n_{\sigma^0} = 2n_{\pi^+\pi^-} + n_{\pi^+\pi^-\pi^0} + 2n_{\pi^+\pi^-\pi^0} + 4n_{\pi^+\pi^-\pi^0} + e_{\sigma^0}^{(1)i} + e_{\sigma^0}^{(2)j},$$

где $e_c^{((1))i}$ - числа заряженных частиц (π^0 -мезонов) в i -м канале диссоциации I-го(2-го) лидирующего адрона и т.д.

Распределение по числу заряженных частиц принимает вид

$$W_{n_c} = \sum_{i,j} F_{ij} \sum_k P_{n_k}(\langle \tilde{n}_k \rangle) \times \theta[\bar{E}' - \sum_k n_k \bar{M}_k] \cdot \delta_{n_c; 2n_{\pi^+\pi^-} + \dots + e_c^{(2)j}} \quad (5)$$

Для функции $\langle n_{\pi^0} \rangle_{n_c}$ получаем выражение

$$\langle n_{\pi^0} \rangle_{n_c} = \frac{1}{W_{n_c}} \cdot \sum_j F_{ij} \sum_e (2n_{\pi^+\pi^-} + \dots + e_{\pi^0}^{(2)j}) \times \quad (6)$$

$$\times \prod_e P_{n_e}(\langle \tilde{n}_e \rangle) \cdot \theta[\bar{E}' - \sum_k n_k \bar{M}_k] \times$$

$$\times \delta_{n_c; 2n_{\pi^+\pi^-} + \dots + e_c^{(2)j}}.$$

Аналогичное выражение получаем для величины $\langle n_{\sigma^0} \rangle_{n_c}$.

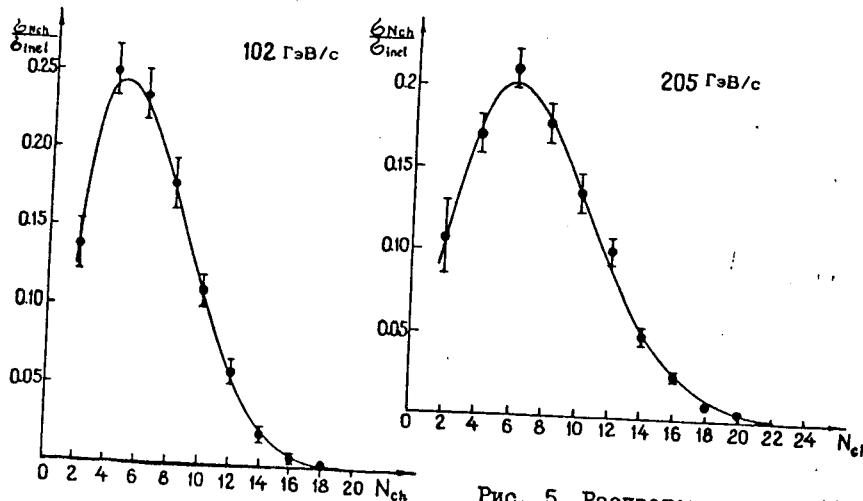


Рис. 4. Распределение по множественности при $P_L = 102 \text{ ГэВ/с.}$

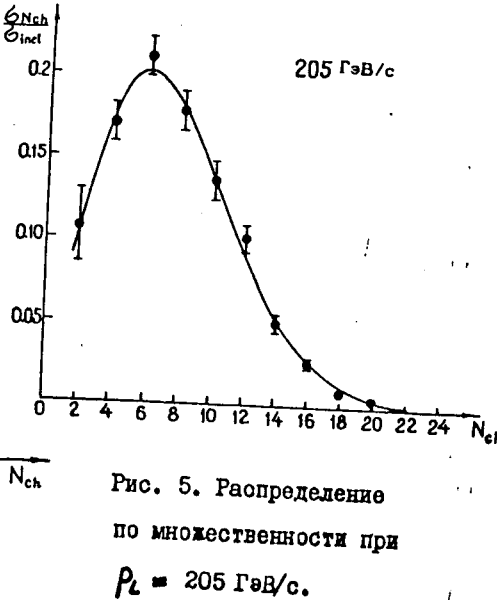


Рис. 5. Раопределение по множественности при $P_L = 205 \text{ ГэВ/с.}$

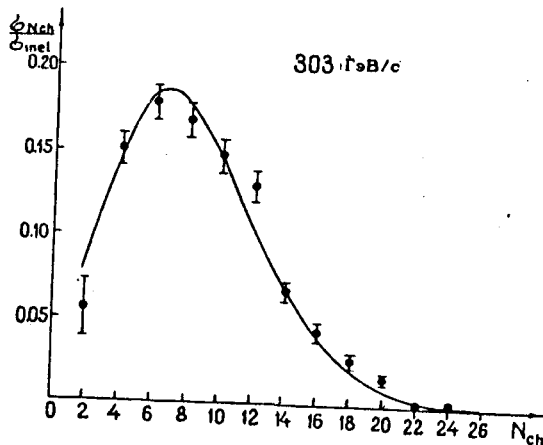


Рис. 6. Распределение по множественности при $P_L = 303 \text{ ГэВ/с.}$

§3. Распределения по множественности и зарядово-нейтральные корреляции в адрон-адронных столкновениях

Воспользуемся формулами (5)-(6) для описания^{/7/} данных для частиц типа S^0 , полученных на двухметровой пропановой камере в π^-N -столкновениях при $E_L = 40$ ГэВ в ИФЭ. Как показывает наш анализ, вклад B -кластеров при этой энергии незначителен. Кинематические ограничения при полученных на опыте значениях несущественны, и поэтому θ -функцию в выражениях (5)-(6) можно заменить на единицу. Ограничимся при этом шестью выписанными каналами диссоциации ρ и N , а для диссоциации π^- -мезона — тремя выписанными каналами. Используем здесь и в дальнейшем предположение о факторизации множителя F_{ij} , т.е.

$$F_{ij}^{(\pi N)} = F_i^{(N)} \cdot F_j^{(\pi)},$$

$$F_i^{(\rho)} = F_i^{(n)}$$

для π^-N -взаимодействий и

$$F_{ij}^{(pp)} = F_i^{(p)} \cdot F_j^{(p)}$$

для pp -взаимодействий и т.д. Величины F_i играют роль вероятностей соответствующих каналов диссоциации. При этом выполняется условие нормировки

$$\sum F_i = 1.$$

При этом в силу локального сохранения изospина получим

$$F_3^{(p)} = 2 F_2^{(p)}; \quad F_6^{(p)} = 2 F_5^{(p)}.$$

Введем обозначения

$$F_1^{(p)} = \alpha; \quad F_2^{(p)} = \beta; \quad F_5^{(p)} = \delta;$$

$$F_1^{(\pi)} + F_3^{(\pi)} = \mu.$$

Выражения для функций $\langle n_{S^0} \rangle_{n_c}$ принимают вид

$$\langle n_{S^0} \rangle_{n_c}^{xp} \simeq \langle n_{K^0\bar{K}^0} \rangle + 1 - \alpha - 3\beta,$$

$$\langle n_{S^0} \rangle_{n_c}^{x\bar{n}} \approx \langle n_{K^0\bar{K}^0} \rangle + 2(\beta + \delta) \cdot \frac{\mu + (1-\mu) \cdot \frac{n_c - 1}{2a}}{g_1 + g_2 \cdot \frac{n_c - 1}{2a} + g_3 \cdot \frac{(n_c - 1)(n_c - 3)}{4a^2}},$$

где

$$a = \langle n_{\pi^+\pi^-} \rangle + \langle n_{K^+K^-} \rangle + \langle n_{\pi^+\pi^-\pi^0} \rangle,$$

а величины g_1, g_2, g_3 простым образом связаны с параметрами $\alpha, \beta, \mu, \dots$. Параметры модели определялись одновременным фитированием функций $\langle n_{S^0} \rangle_{n_c}$ и функций $\langle n_{S^0} \rangle_{n_c}^{x\bar{n}}$. При этом было достигнуто качественное совместное описание этих четырех закономерностей (см. рис. 2а, б и 3а, б).

Средние числа частиц типа S^0 равны

$$\langle n_{S^0} \rangle^{x\bar{n}} = 0,28 \pm 0,02,$$

$$\langle n_{S^0} \rangle = 0,23 \pm 0,02,$$

Среднее число мезонных комбинаций $\pi^+\pi^-, K^+K^-, \pi^+\pi^-\pi^0$

$$a = 1,76 \pm 0,04.$$

Коэффициент перезарядки

$$K_{c,ex.} = 0,35 \pm 0,05.$$

Вероятности нуклонной и пионной диссоциации

$$\alpha = 0,44 \pm 0,09 \quad \beta = 0,16 \pm 0,05,$$

$$\delta = 0,01 \pm 0,05, \quad \mu = 0,92 \pm 0,06.$$

Отметим, что для функций $\langle n_{S^0} \rangle_{n_c}$ (при значениях n_c , при которых не сказываются кинематические ограничения) модель предсказывает линейную зависимость $\langle n_{S^0} \rangle_{n_c} = A + B \cdot n_c$, которая хорошо согласуется с результатами эксперимента. При этом B выражается через средние числа рождающихся пар и троек следующим образом:

$$B \approx \frac{1}{2} \cdot \frac{\bar{N}(\omega)}{\bar{N}(\omega) + \bar{N}(6 \rightarrow \pi^+\pi^-)}.$$

Таким образом, рост наклона B с ростом энергии указывает на возрастание роли более тяжелых кластеров. Отсутствие при $E \sim 20$ ГэВ

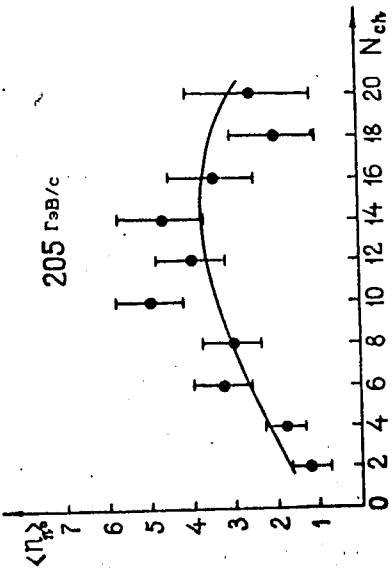
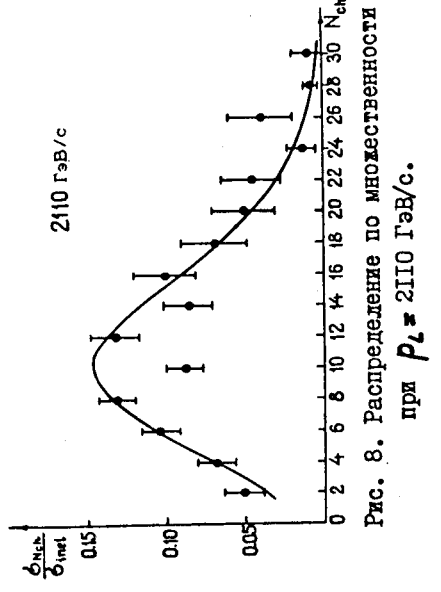
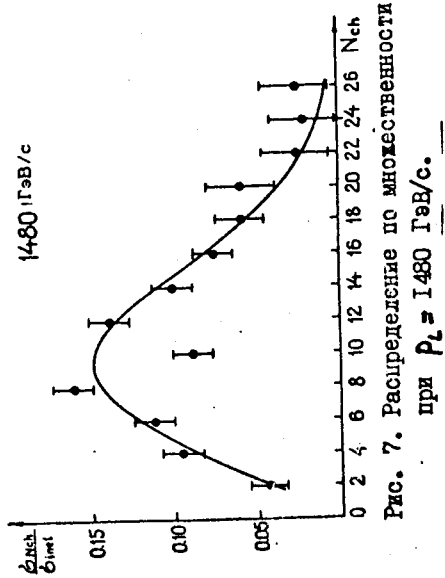
подобной зависимости означает, что при этой энергии

$$\bar{N}(\omega) \ll N(\epsilon).$$

2. Переидем теперь к описанию распределений по множественности и зарядово-нейтральных корреляций в pp -столкновениях^[7]. При энергиях $E_L > 102$ ГэВ рождение пионов в ЦО происходит главным образом через Λ -кластеры и вкладом Λ - и ω -кластеров мы пренебрегаем. Рождение странных частиц также учитывать не будем. Таким образом, принимаем во внимание каналы диссоциации №№ 1, 2, 3 и №№ 7, 8, 9. В результате получаем для W_{n_c} и $\langle n_{\pi^0} \rangle_{n_c}$ выражения

$$W_{n_c} = \sum_{n_e} \left\{ V_1^2 \cdot \delta_{n_c; 2n_{\pi^0} + 2\pi^- + 4n_{2\pi^+ 2\pi^-}} + \right. \\ + 2 \cdot V_1 \cdot (1 - V_1) \cdot \delta_{n_c; 2n_{\pi^0} + 2\pi^- + 4n_{2\pi^+ 2\pi^-} + 4} + \\ \left. + (1 - V_1)^2 \cdot \delta_{n_c; 2n_{\pi^0} + 2\pi^- + 4n_{2\pi^+ 2\pi^-} + 6} \right\} \times \\ \times \prod_e P_{n_e} (\langle n_e \rangle) \cdot \theta [\bar{\epsilon}' - \sum_{e'} n_{e'} \cdot \bar{M}_{e'}].$$

$$\langle n_{\pi^0} \rangle_{n_c} = \frac{1}{W_{n_c}} \cdot \sum_e \prod_{e'} P_{n_{e'}} (\langle n_{e'} \rangle) \times \\ \times \theta [\bar{\epsilon}' - \sum_{e'} n_{e'} \cdot \bar{M}_{e'}] \times \\ \times \left\{ [V_1^2 \cdot (4n_{\pi^0} + 2n_{\pi^0 2\pi^-}) + 2V_1 V_2] \delta_{n_c; 2n_{\pi^0} + 4n_{2\pi^+ 2\pi^-} + 2} + \right. \\ + [2V_1 \cdot (1 - V_1)(4n_{\pi^0} + 2n_{\pi^0 2\pi^-}) + 2(1 - V_1)V_2] \cdot \delta_{n_c; 2n_{\pi^0} + 4n_{2\pi^+ 2\pi^-} + 4} + \\ \left. + (1 - V_1)^2 \cdot (4n_{\pi^0} + 2n_{\pi^0 2\pi^-}) \cdot \delta_{n_c; 2n_{\pi^0} + 4n_{2\pi^+ 2\pi^-} + 6} \right\}.$$



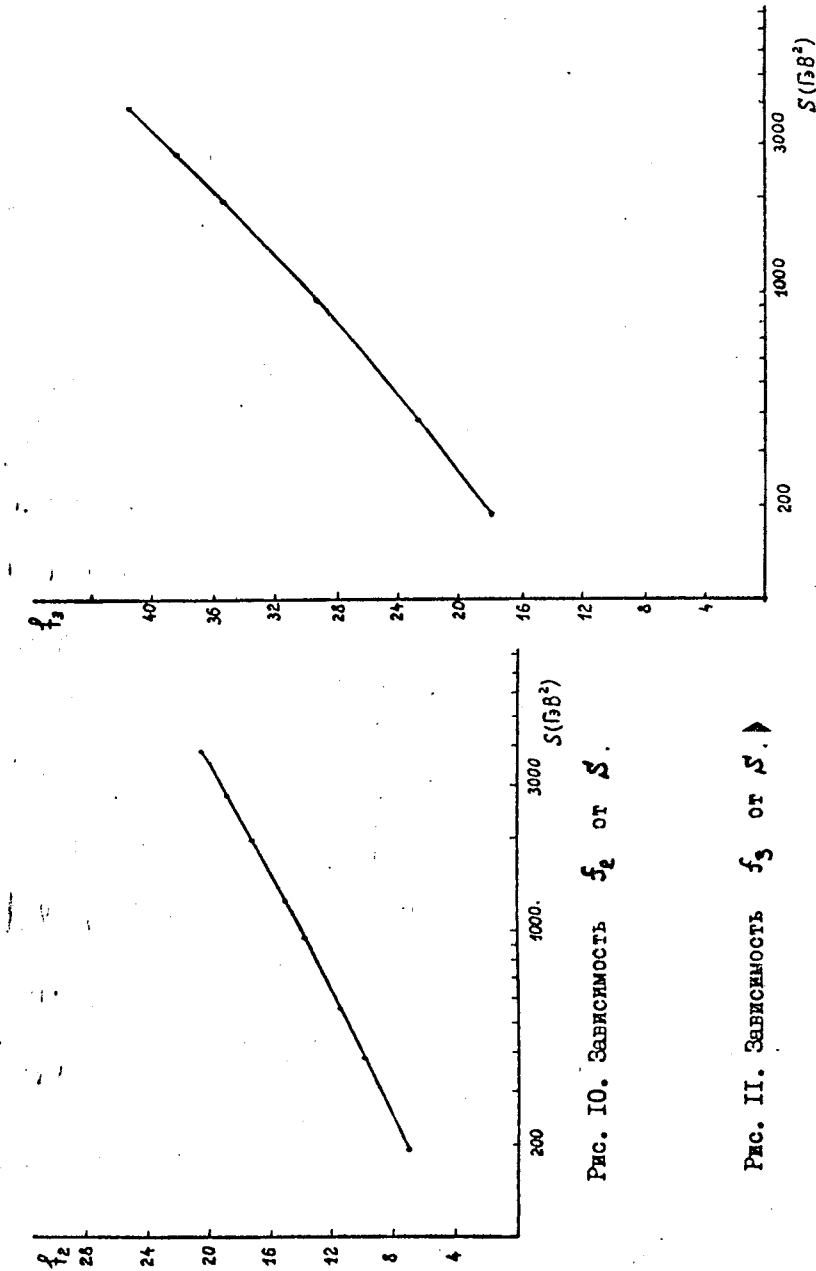


Рис. II. Зависимость f_2 или f_3 от $S (13B^2)$.

Величины V_1 , V_2 являются простыми комбинациями параметров $F_i^{(\rho)}$, $i = 1, 2, 3; 7, 8, 9$:

$$V_1 = 1 - F_6^{(\rho)}$$

$$V_2 = F_2^{(\rho)} + F_7^{(\rho)} + 2 F_8^{(\rho)}$$

Подчеркнем здесь, что с ростом энергии (и с увеличением числа каналов) величины V_1 и V_2 будут включать в себя все большее число составляющих. Соответственно в распределениях по множественности будет появляться все большее число компонент. Рост числа компонент в распределениях с ростом энергии является отличительной чертой данной модели.

Использованный экспериментальный /8, 9/ материал включает 81 точку. Две точки (значения W_{n_c} при $n_c = 10$ при $E_L = 1480$ ГэВ и $E_L = 2100$ ГэВ не ложатся на гладкие кривые). Описание оставшихся 79 точек дало $\chi^2 \approx 74$.

Наилучшее описание производилось в том случае, когда масса кластера B

$$\bar{M}_B \approx 2,1 \text{ ГэВ/с}^2,$$

что согласуется с принятыми оценками этой величины (см., например, /5/).

Коэффициент неупругости получается равным

$$\bar{\epsilon} = \frac{\bar{E}'}{\sqrt{S'}} \approx 0,6.$$

Для величин V_1 и V_2 получаем из сравнения с экспериментальными данными:

$$V_1 = V_{11} + V_{12} \cdot \ln \frac{S}{S_0},$$

$$V_{11} = 0,6 \pm 0,04,$$

$$V_{12} = 0,1 \pm 0,047,$$

$$V_2 = 0,32 \pm 0,08.$$

Для $\langle n_B \rangle = A + B \cdot \ln \frac{S}{S_0}$ получаем

$$A = 1,25 \pm 0,072,$$

$$B = 0,8 \pm 0,08.$$

"Загиб" вниз кривой $f(n_c) = \langle n_{\pi^0} \rangle_{n_c}$, как уже указывалось выше, объясняется исключительно кинематическими соображениями. Результаты описания приведены на рис. 4+9. На рис. 10-12 показано поведение корреляционных параметров f_2 , f_3 , f_4 в зависимости от квадрата полной энергии. Их зависимость качественно согласуется с феноменологическими обработками при сверхвысоких энергиях (даны космических лучей) ^[10].

§4. Корреляции типа "вперед-назад" в модели двух механизмов

Перейдем теперь к описанию корреляций типа "вперед-назад" между заряженными частицами. Данные, полученные недавно АСИМ-коллаборацией, показали ^[11], что среднее число частиц, летящих в переднюю полусферу в СЦИ $\langle n^{(F)} \rangle_{n(\alpha)}$ растет линейно с ростом $n^{(B)}$, причем наклон порядка 1/3, что указывает на сильные короткодействующие корреляции. Покажем, как эта зависимость может быть легко объяснена в рамках модели с некоррелированным рождением нейтральных кластеров. (Вкладом продуктов диссоциации и кинематическими ограничениями пренебрежем).

А именно, воспользуемся предположением о том, что быстроты \mathcal{B} -кластеров, которые образуются при распаде B -кластера, близки к быстроте B -кластера, т.е.

$$y_B \sim y_{B'}$$

а быстроты пионов, которые образуются при распаде \mathcal{B} -кластеров, имеют быстроты

$$y_{\pi} = y_B \pm \Delta,$$

где y_B - быстрота \mathcal{B} -кластера, а Δ - некоторая постоянная характерная величина кластера. Вообще же результат слабо зависит от вида распределения по быстроте пиона.

B -кластер распадается на комбинация $2\pi^+ 2\pi^-$, $\pi^+ \pi^- 2\pi^0$, $4\pi^0$. Комбинация из четырех π^0 -мезонов не дает вклада в корреляционные зависимости заряженных частиц. Распределение по $n_{2\pi^+ 2\pi^-}$, $n_{\pi^+ \pi^- 2\pi^0}$ имеет вид

$$W_{n_{2\pi^+ 2\pi^-}; n_{\pi^+ \pi^- 2\pi^0}} = \rho_{n_{2\pi^+ 2\pi^-}}(D) \rho_{n_{\pi^+ \pi^- 2\pi^0}}(D),$$

где

$$D = \langle n_{2\pi^+ 2\pi^-} \rangle = \langle n_{\pi^+ \pi^- 2\pi^0} \rangle.$$

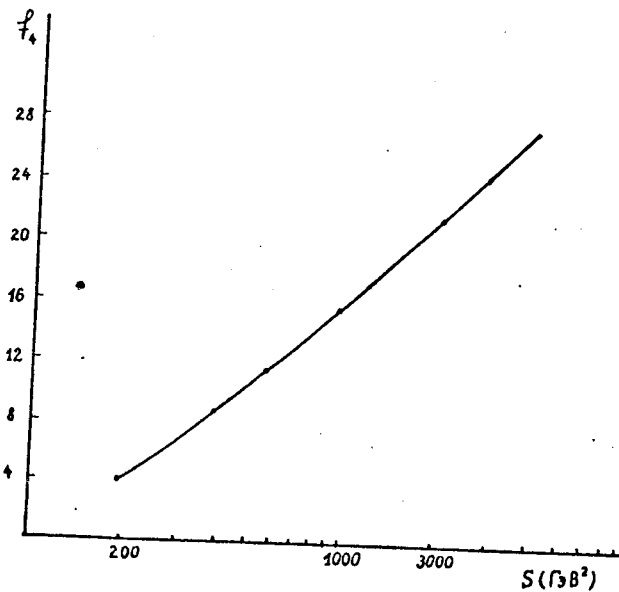


Рис. I2. Зависимость f_4 от S .

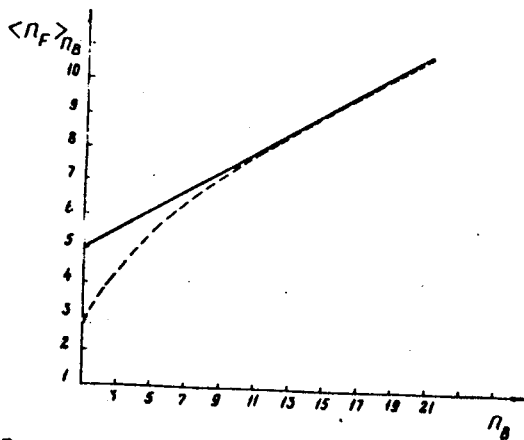


Рис. I3. Зависимость среднего числа частиц, летящих "вперед", n_F , от числа частиц, летящих "назад", n_B .
 — — — экспериментальные данные.
 - - - предсказание нашей модели.

Весь быстротный интервал можно разбить на три области: $[-Y, -\Delta]$, $[-\Delta, \Delta]$, $[\Delta, Y]$. Если быстрота B -кластера, распавшегося на комбинацию $2\pi^+ 2\pi^-$, лежит в интервале $[-Y, -\Delta]$, то, очевидно, все четыре заряженных пиона летят "назад", если в интервале $[-\Delta, \Delta]$, то два заряженных пиона летят "вперед", а два "назад" и т.д.. Вероятность для кластера попасть в области $[\Delta, Y]$, $[-\Delta, \Delta]$, $[-Y, -\Delta]$, равна соответственно

$$\omega_1 = \frac{Y - \Delta}{2Y} = \frac{1}{2} - \frac{1}{2}\omega,$$

$$\omega_2 = \omega,$$

$$\omega_3 = \frac{1}{2} + \frac{1}{2}\omega,$$

где

$$\omega = \frac{\Delta}{Y}.$$

Вероятность того, что быстроты n_1 числа комбинаций $2\pi^+ 2\pi^-$ попадут в первый интервал, n_2 - во второй, n_3 - в третий, а быстроты $K_{1,2,3}$ числа комбинаций $\pi^+ \pi^- 2\pi^0$ попадут соответственно в первый, второй и третий интервалы, равна, очевидно,

$$W_{n_1, \dots, n_3} = \prod P_{n_i}(D_i) P_{K_i}(D_i); \quad D_i = \omega_i D;$$

число частиц, летящих "вперед" ($n^{(F)}$) и "назад" ($n^{(B)}$), связано с n_1, \dots, n_3 очевидными соотношениями

$$n^{(F)} = 4n_1 + 2n_2 + 2K_1 + K_2 + 1,$$

$$n^{(B)} = 2n_2 + 4n_3 + K_2 + 2K_3 + 1.$$

Распределение по числу частиц, летящих "назад" ($n^{(B)}$), имеет вид

$$W_{n^{(B)}} = \sum_{n_1, \dots, n_3} \prod P_{n_i}(D_i) P_{K_i}(D_i) \cdot \delta_{n^{(B)}, 2n_2 + 4n_3 + K_2 + 2K_3}$$

$$= \sum_{n_2, n_3} P_{n_3}(D_3) \cdot P_{n_2}(D_2) P_{n^{(B)} - 1 - 4n_3 - 2n_2}(D_2),$$

и функция $\langle n^{(F)} \rangle_{n^{(B)}}$ предстает в виде

$$\begin{aligned}
 \langle n^{(F)} \rangle_{n^{(B)}} &= \frac{1}{W_{n^{(B)}}} \cdot \sum P_{n_i}(D_i) P_{k_i}(D_i) \times \\
 &\times (2n_2 + 4n_1 + 2k_1 + k_2 + 1) \cdot \delta_{n^{(B)}, 2n_2 + 4n_3 + k_2 + 2k_3 + 1} = \\
 &= (n^{(B)} + 6D_1) - \frac{2}{W_{n^{(B)}}} \sum_{n_2 n_3 k_3} (2n_3 + k_3) \cdot P_{n_2}(D_2) \cdot P_{n_3}(D_3) \times \\
 &\times P_{k_3}(D_3) \cdot P_{n^{(B)} - 1 - 4n_3 - 2n_2 - 2k_3}(D_2).
 \end{aligned}$$

Две последние формулы предсказывают линейный рост для $\langle n^{(F)} \rangle_{n^{(B)}}$ при значениях $n^{(B)} \geq 5$ (см. рис. I3).

Отклонение теоретической кривой от экспериментальной (при $\sqrt{s} = 63 \text{ ГэВ}$ II) при малых значениях $n^{(B)}$ объясняется тем, что мы не учли вклад дифракционной компоненты.

При этом величина "разлета" пионов при распаде Δ^+ -кластеров достаточно велика и равна

$$\Delta \approx 0.6 \cdot Y,$$

что объясняет относительно большой наклон кривой.

Согласие теоретических результатов с экспериментальными говорит в пользу предположения о доминировании нейтральных кластеров и позволяет находить вероятности различных каналов диссоциации в рамках рассмотренной модели.

Итак, мы видим, что идея об объединении двух механизмов рождения вторичных частиц, а именно:

- независимого рождения (нейтральных кластеров) в ЦО;
- диссоциации лидирующих частиц с локальным сохранением заряда и других квазичисел, оказывается весьма плодотворной и дает возможность объяснить широкий спектр экспериментальных закономерностей. При этом сравнение теоретических зависимостей с экспериментальными позволяет получить в рамках нашей модели численные оценки для физических величин, таких, как средняя масса кластеров, коэффициент неупругости и пр.

Значительный интерес представляет теоретическое и экспериментальное исследование возможности отделения вкладов различных механизмов. Кроме того, весьма желательна экспериментальная проверка эффекта "кластеризации", и, в частности, предположения о доминировании кластеров с нулевым зарядом в ЦО.

Литература

1. A.A.Logunov, M.A.Mestvirishvili, Nguen Van Hieu. Phys.Lett., 25B, 611 (1967).
2. См. обзоры (и ссылки в них):
И.В.Андреев, И.М.Дремин. УФН I22 № I, 37 (1977).
С.П.Кулемов, В.А.Матвеев, А.Н.Сисакян, М.А.Смондров,
А.Н.Тавхелидзе. ЭЧАЯ, 5, 3 (1974).
А.Н.Кванихиадзе, А.Н.Сисакян, Л.А.Слепченко, А.Н.Тавхелидзе.
ЭЧАЯ, 8, 478 (1977).
3. A.A.Logunov, M.A.Mestvirishvili. CERN, TH-1707, Geneva (1973).
4. S.P.Kuleshov, V.A.Matveev, A.N.Sissakian, Fizika, 5, 67 (1973).
V.G.Grishin, G.Jancso, S.P.Kuleshov, V.A.Matveev, A.N.Sissa-
kian. JINR E2-6596, Dubna (1972); Nuovo Cim.Lett., 8, 590
(1973). A.N.Sissakian. JINR, E2-9086, 243, Dubna (1975).
5. И.М.Дремин. Материалы Международного совещания "Процессы мно-
жественного рождения и инклизивные реакции при высоких энерги-
ях". Серпухов, 1977.
6. Yu.A.Budagov et al. Czech.Journ. of Phys., B26, 1272 (1976).
7. N.S.Amaglobeli, V.K.Mitrjushkin, A.N.Sissakian, L.A.Slepchenko,
E.T.Tsivtsivadze. JINR, E2-9362, Dubna (1975).
А.С.Курилин, В.К.Митрюшкин, В.С.Румянцев, С.Б.Саакян,
А.Н.Сисакян. ОИЯИ Д2-II833, Дубна (1978).
8. P.Slattegry. Phys.Rev., D7, 2073 (1973).
W.Thome et al. MPI-PAE/EXP. EI.63 (1977).
9. F.T.Dao et al. Phys.Rev.Lett., 30, 1151 (1973).
10. См. обзор: С.Н.Вернов, Е.Л.Фейнберг. ОИЯИ РI,2-8529, 73,
Дубна (1975).
- II. M.Le Bellac. CERN preprint. Ref. TH 2361-CERN (1977).
12. С.Ш.Мавродиев, В.К.Митрюшкин, А.Н.Сисакян, Г.Т.Торосян.
ОИЯИ, Д2-II947, Дубна (1978).